

結果に基づいて設定した(表2)。

盛土の沈下は主として加振中に進行したため、安定計算では慣性力と盛土内に生じた過剰間隙圧の影響を同時に考慮した。また、実験では図3に示すように盛土の沈下は主としてせん断変形により生じた。さらに盛土内のみ水位のある各ケースでは、のり肩からのり尻にかけて小規模なすべりも生じた。一方、安定計算では、図2に示す円弧制限を設けて、のり肩とのり尻部が同時にすべるような比較的大規模なすべりに対する安全率を算定した。これらの破壊モードは対応していないが、以下では計算で得られた安全率を指標的に取扱うことにより、盛土沈下量の実測値との対応関係について検討した。

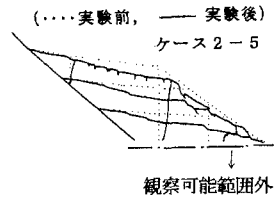


図3 変形状況の例

4. 計算結果と実験結果の比較

各加振ステップごとの実測沈下量を盛土の初期高さで正規化した値と水平震度 k_h の関係を図4に、安全率 F_s との関係を図5に示す。前者の関係は模型条件の違いに応じて大きくばらつき、同程度の k_h および締固め度 D のもとでは盛土内水位 WL が高いほうが、さらに同じ WL の盛土ではのり面勾配 α が大きいほうが正規化沈下量が大きかった。一方、後者の関係ではばらつきが比較的小さくなり、 WL と α に関わらず、正規化沈下量が増加するほど F_s が低下する傾向が得られた。これは、 WL と α の影響が、 F_s の値にある程度合理的に反映されたためと考えられる。ただし、正規化沈下量と F_s の関係は D の値に応じて異なり、 D が高いほうが同じ F_s でも正規化沈下量が小さかった。これは、繰返し载荷を受ける盛土の残留変形特性が D によって異なるためと考えられる。同様な傾向が、液状化地盤の液状化指数 P_L とその上の両盛土の沈下量の関係においても報告されている⁵⁾。

4. 計算結果と実験結果の比較

なお、図4では同じ模型で同程度の k_h でも2回目加振時のほうが1回目加振時よりも沈下量が小さくなっているケースが多い。計算では1回目加振時に生じた盛土の残留変形を考慮せず、また盛土内水位も設定値が維持されたと仮定したため、これらの変化の影響が F_s に反映されず、図5に見られるばらつきの原因の一つとなったと考えられる。

5. まとめ

円弧すべり安定計算で三軸試験結果から盛土の強度特性を設定し、さらに慣性力と過剰間隙圧の影響を同時に考慮して得られた安全率が、模型実験で実測した沈下量とある程度の相関があること、さらに、これらの関係が盛土の締固め度に応じて異なることを示した。

5. まとめ

円弧すべり安定計算で三軸試験結果から盛土の強度特性を設定し、さらに慣性力と過剰間隙圧の影響を同時に考慮して得られた安全率が、模型実験で実測した沈下量とある程度の相関があること、さらに、これらの関係が盛土の締固め度に応じて異なることを示した。

参考文献 1)近藤浩市ら:片盛土の耐震性に関する動的遠心模型実験,土木学会第50回年次学術講演会第3部門,1995. 2)同(その2),土木学会第51回年次学術講演会第3部門,1996. 3)同(その3),土木学会第53回年次学術講演会第3部門,1998. 4)林宏親ら:道路盛土の耐震性に関する遠心模型実験,第33回地盤工学研究発表会,1998. 5)澤田亮ら:液状化地盤上における盛土沈下量の簡易推定法に関する一考察,第34回地盤工学研究発表会投稿中,1999.

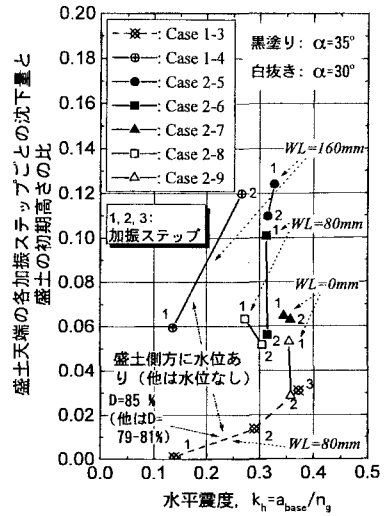


図4 正規化沈下量と水平震度の関係

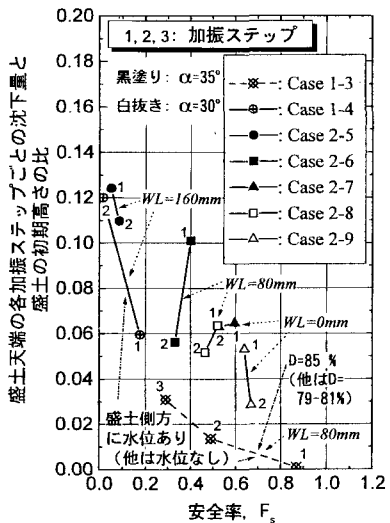


図5 正規化沈下量と安全率の関係